

## (481) 継目無鋼管熱処理後サイザー圧延荷重式およびトルク式

川崎製鉄(株)技術研究所・山本健一, 今江敏夫, 富樫房夫  
知多製造所 増田敏一

1. 緒言 継目無鋼管熱処理後サイザー圧延において、圧延荷重、トルクを精度良く予測することは、製品の寸法精度の向上、所望の造管可能範囲を達成するためのミル定格荷重、主モーター容量の決定の点から考えて重要である。筆者らは、外圧のみ働く場合の厚肉円筒の式に、圧延入出側における材料の弾性変形を考慮した形で、簡単かつ精度良い圧延荷重式およびトルク式を作成したので、報告する。

2. 計算方法 外圧 $P_1$ が働く場合、厚肉円筒に発生する円周方向応力 $\sigma_\theta$ および半径方向応力 $\sigma_r$ は、次式で表わされる。軸方向応力 $\sigma_z$ は0とする。(Fig.1参照)

$$\begin{aligned}\sigma_\theta &= -r_b^2 \cdot (1 + r_a^2/r^2) / (r_b^2 - r_a^2) \times P_1 \\ \sigma_r &= -r_b^2 \cdot (1 - r_a^2/r^2) / (r_b^2 - r_a^2) \times P_1\end{aligned}\quad \text{---(1)}$$

本計算においては、管の最外面( $r = r_b$ )の相当応力が降伏応力に達した時、材料が降伏すると仮定する(Misesの降伏条件が成立)。この時、変形抵抗を $\sigma_y$ とすると、外圧 $P_1$ は、次式で与えられる。

$$P_1 = (r_b^2 - r_a^2) / \sqrt{r_b^4 + 3r_a^4} \times \sigma_y \quad \text{---(2)}$$

(1) 圧延荷重式：熱処理後サイザー圧延における各スタンドの圧下は0.1～1.0%と軽圧下であるため、通常の熱間圧延と比較して、圧延荷重に及ぼす弾性変形の影響が顕著になってくる。ロールバイト内での圧延圧力分布を、Fig.2に示すように、圧延出側における材料の弾性回復を考慮した形で与える。以上より、熱処理サイザー圧延荷重 $P$ は、次式で計算される。(Fig.2参照)

$$P = P_1 \cdot (\frac{1}{2}Ld_1 + Ld_2 + \frac{1}{2}Ld_3) \cdot D_o \quad \text{---(3)}$$

(2) 圧延トルク式：圧延トルク $G$ を、ロールと材料の摩擦力によるトルク $G_f$ とロール面圧によるトルク $G_p$ の和で与える。各スタンドでのドライビングポイント(ロール周速と材料速度が等しくなる点) $\theta_n$ (Fig.1参照)は、実測結果より、ほぼ $\pi/4$ に等しい値をとるから、 $G_f$ は、次式で与えられる。(μ:摩擦係数)

$$G_f = 4 \left\{ \int_0^{\pi/4} \mu \cdot P_1 \cdot r_b (D_f/2 - r_b \sin \theta) d\theta - \int_{\pi/4}^{\pi/2} \mu \cdot P_1 \cdot r_b (D_f/2 - r_b \sin \theta) d\theta \right\} \cdot (\frac{1}{2}Ld_1 + Ld_2 + Ld_3) \quad \text{---(4)}$$

$G_p$ について、トルクアーム係数を $1/2$ と仮定すると、 $G_p = P_1 \cdot D_o \{ Ld_1(Ld_1/2 + Ld_2) + Ld_2^2 - Ld_3^2/2 \}$ となる。したがって、(4), (5)より熱処理後サイザー圧延トルク $G$ は、次式で計算される。

$$G = \{(\sqrt{2}-1) \cdot \mu \cdot D_o + Ld_1(Ld_1/2 + Ld_2) + Ld_2^2 - Ld_3^2/2\} \cdot P_1 \cdot D_o \quad \text{---(6)}$$

3. 計算および圧延結果 Fig.3に圧延荷重、Fig.4にモーター消費電力について、実測値と予測計算値の比較を示す。同図より、(2), (3), (6)式により、圧延荷重およびトルクが精度良く計算されることが明らかである。

4. 結言 継目無鋼管熱処理後サイザー圧延における、簡単で精度良い荷重式およびトルク式を得た。

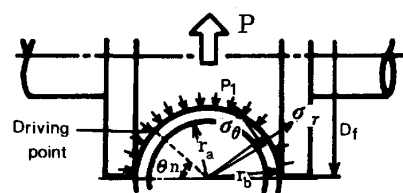


Fig.1 Stresses on cross-section of the pipe under rolling.

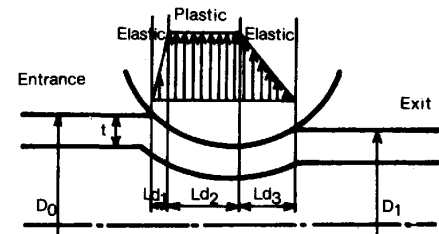


Fig.2 Distribution of rolling force in sizer rolling after quench & temper

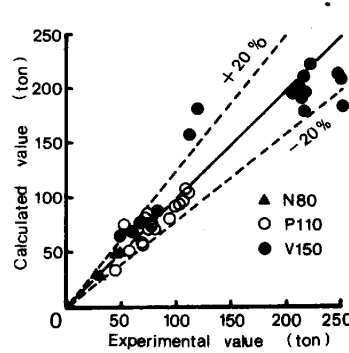


Fig.3 Comparison of load

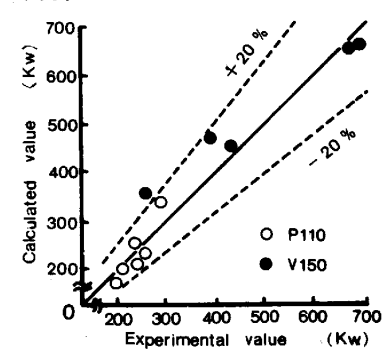


Fig.4 Comparison of motor power consumption